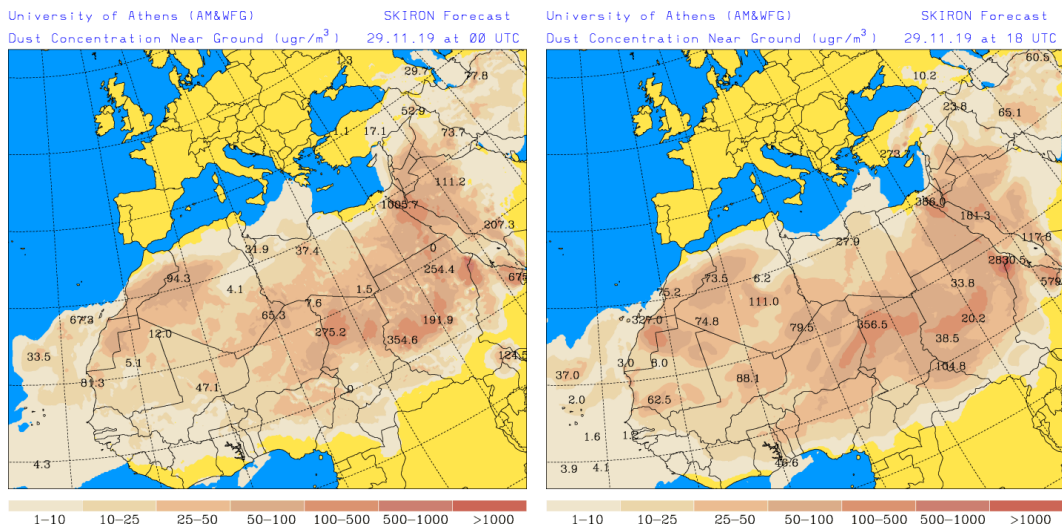


Predicción de intrusión de masas de aire africano sobre España, para el día 29 de noviembre de 2019

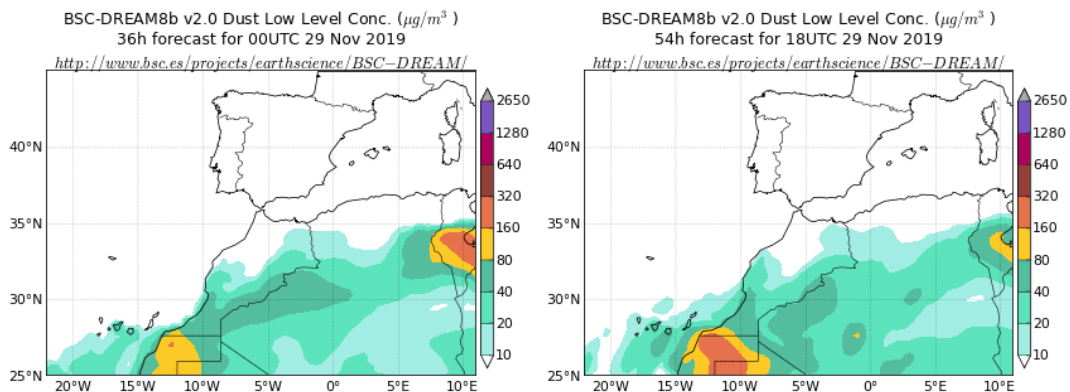
Se prevé que durante el próximo día 29 de noviembre persista el evento de intrusión de polvo africano sobre las islas Canarias. Por ello podrían alcanzarse valores de concentración de polvo en el rango $10\text{-}80\ \mu\text{g}/\text{m}^3$ en gran parte del archipiélago canario. También se prevé que se puedan producir eventos de depósito seco de polvo durante todo el día 29 de noviembre.

29 de noviembre de 2019

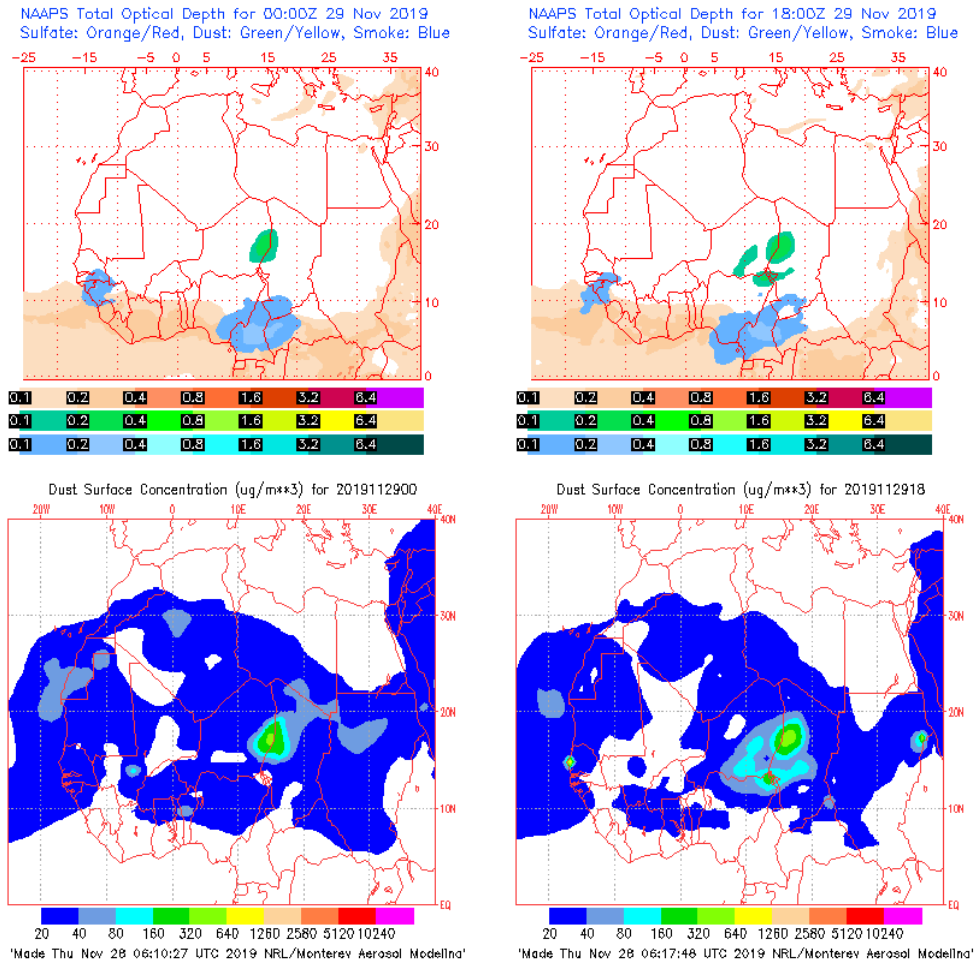
Concentración de polvo ($\mu\text{g}/\text{m}^3$) predicha por el modelo Skiron para el día 29 de noviembre de 2019 a las 00 (izquierda) y a las 18 UTC (derecha). © Universidad de Atenas.



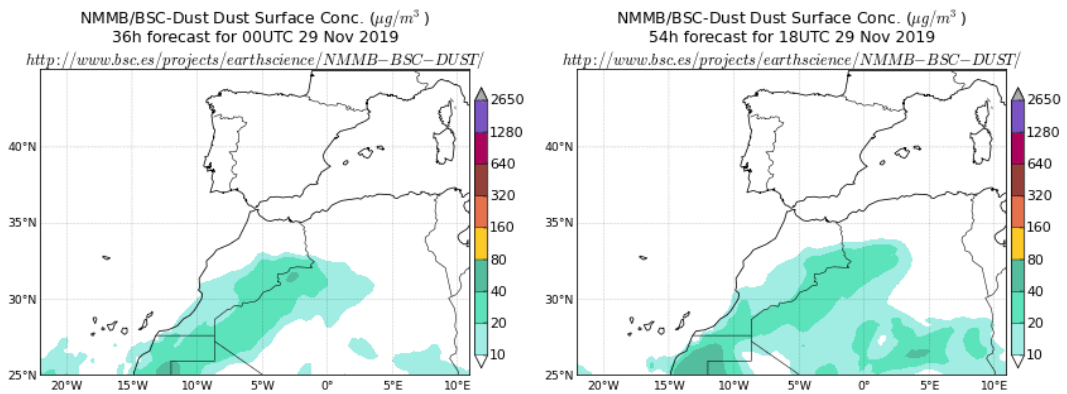
Concentración de polvo ($\mu\text{g}/\text{m}^3$) predicha por el modelo BSC-DREAM8b v2.0 para el día 29 de noviembre de 2019 a las 00 (izquierda) y a las 18 UTC (derecha). © Barcelona Supercomputing Center.



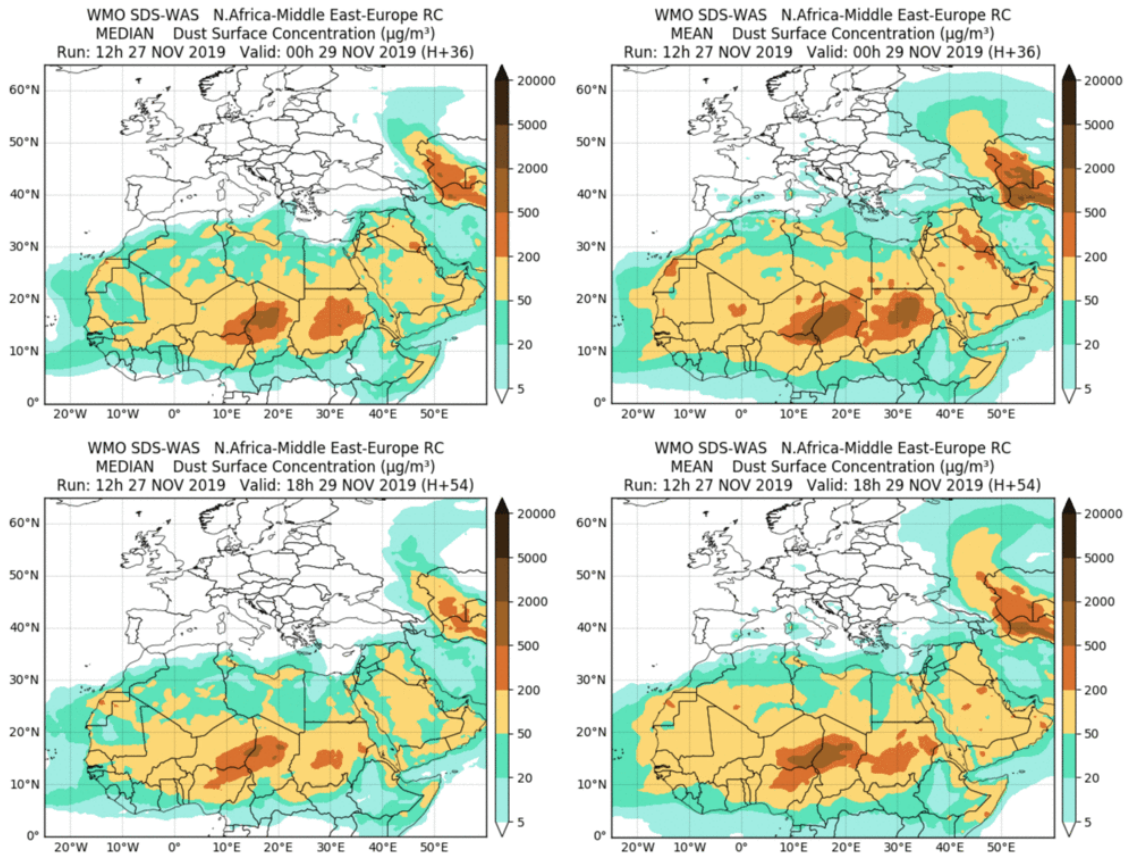
Espesor óptico de aerosoles a 550 nm (arriba) y concentración de polvo a nivel de superficie (abajo) previstos por el modelo NAAPS para el día 29 de noviembre de 2019 a las 00 (izquierda) y a las 18 (derecha) UTC en las islas Canarias. ©Naval Research Laboratory (NRL), Monterey, CA



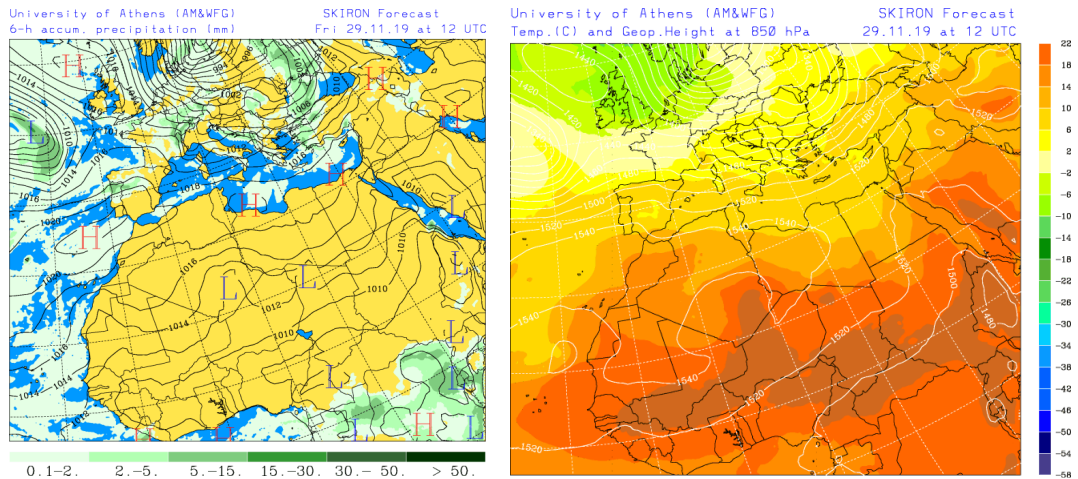
Concentración de polvo ($\mu\text{g}/\text{m}^3$) predicha por el modelo NMMB/BSC-Dust para el día 29 de noviembre de 2019 a las 00 (izquierda) y a las 18 UTC (derecha). © Barcelona Dust Forecast Center.



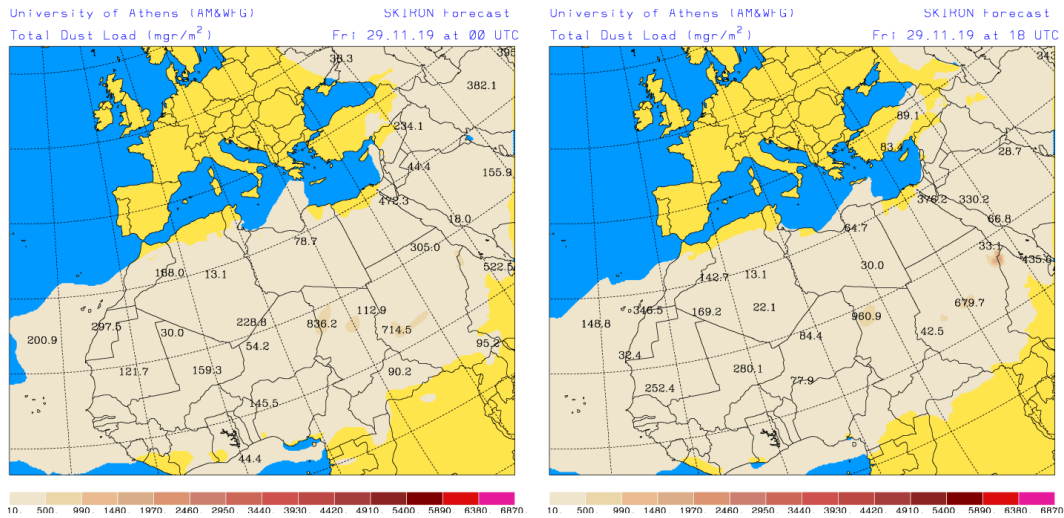
Resultados de la comparación de múltiples modelos de predicción de concentración de polvo (Mediana y Media en $\mu\text{g}/\text{m}^3$) para el día 29 de noviembre de 2019 a las 00h UTC (fila superior) y a las 18h UTC (fila inferior). Esta comparación es realizada diariamente por el Centro Regional de la Organización Meteorológica Mundial (OMM) del Sistema de Evaluación y Avisos de Tormentas de Polvo y Arena para el Norte de África, Oriente Medio y Europa (SDS-WAS NAMEE RC; Sand and Dust Storm Warning Advisory and Assessment System Regional Center for Northern Africa, Middle East and Europe, <http://sds-was.aemet.es>). Dicho centro es gestionado conjuntamente por la Agencia Estatal de Meteorología (AEMET; <http://www.aemet.es/>) y el Barcelona Supercomputing Center-Centro Nacional de Supercomputación (BSC, <https://www.bsc.es/>).



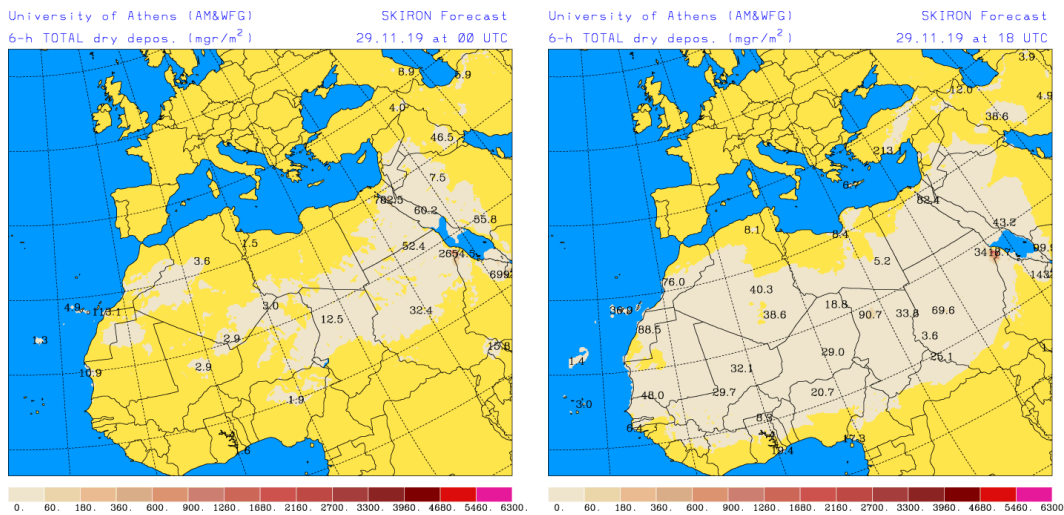
Campo de presión a nivel del mar (mb) y de precipitación (mm) (izquierda) y de temperaturas ($^{\circ}\text{C}$) y de altura de geopotencial (m) a 850 hPa (derecha) previsto por el modelo Skiron para el día 29 de noviembre de 2019 a las 12 UTC. © Universidad de Atenas.



Carga total de polvo (mgr/m^2) predicha por el modelo Skiron para el día 29 de noviembre de 2019 a las 00 (izquierda) y a las 18 UTC (derecha). © Universidad de Atenas.



Depósito seco de polvo (mg/m^2) predicho por el modelo Skiron para el día 29 de noviembre de 2019 a las 00 (izquierda) y a las 18 UTC (derecha). © Universidad de Atenas.



Fecha de elaboración de la predicción: 28 de noviembre de 2019

Predicción elaborada por Pedro Salvador (CIEMAT)

Los datos son propiedad de la Dirección General de Calidad y Evaluación Ambiental, del Ministerio para la Transición Ecológica, y han sido obtenidos y se suministran en el marco del “Encargo del Ministerio para la Transición Ecológica a la Agencia Estatal Consejo Superior de Investigaciones Científicas para la detección de episodios naturales de aportes transfronterizos de partículas y otras fuentes de contaminación de material particulado, y de formación de ozono troposférico”.